

## اندازه‌گیری پارامترهای پلاسما با روش پروپ

محمود قرآن‌نویس و سید محمد الهی

گروه فیزیک پلاسما، مرکز تحقیقات هسته‌ای  
گروه فیزیک، دانشگاه علوم، دانشگاه رازی  
سازمان انرژی انتی ایران

### چکیده

در این مقاله روش‌های تعیین پارامترهای فیزیکی پلاسما مورد بررسی قرار گرفته و نشان داده شده است که می‌توان با روش اندازه‌گیری مستقیم، دما و چگالی الکترون را در پلاسما تعیین نمود. پلاسما در داخل محفظه‌ای استوانه‌ای شکل به قطر ۲۵ سانتیمتر و طول ۶ سانتیمتر، حاوی گاز آرگون ایجاد شده و برای تولید پلاسما از تفنگ الکترونی استفاده گردید "پلاسما" حاصل شده بسیار پایدار بوده و برای اندازه‌گیری دمای الکترون و چگالی آن از سه روش لانگمور پروپ زوج، فرکانس رادیوئی و امواج در پلاسما استفاده گردید. نتایج حاصل از سه روش با یکدیگر مقایسه و نشان داده شده است که در توافق بسیار خوبی با یکدیگر می‌باشد.

(۱-۵)، ب-امواج فرکانس رادیوئی (۶،۷) و  
ج-امواج در پلاسما (۸-۱۱). کلیه این  
آزمایشها در گروه فیزیک پلاسما، مرکز تحقیقات  
هسته‌ای سازمان انرژی انتی ایران صورت گرفته  
است.

الف- روش لانگمور پروپ زوج  
در این روش از قواردادن دو الکترون در داخل  
پلاسما استفاده می‌شود. پلاسما نظری الکترونی  
عمل نموده و از رسم نمودار تغییرات جریان ( $I_d$ )،  
برحسب ولتاژ اعمال شده بین دو پروپ ( $V_d$ )،  
دما ( $T_e$ )، و دانسیته الکترون ( $n_e$ ) در پلاسما  
تعیین می‌شود. شکل ۱ مدار دو پرسی را نشان  
می‌دهد.

فرض کنیم در دو پروپ مشابه که سطح هر دو با  
هم برابر باشند ولتاژ را آنچنان اعمال کنیم که

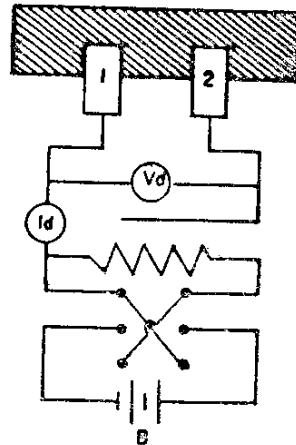
### مقدمه

شناخت و تعیین پارامترهای فیزیکی پلاسما، با توجه به کاربردهای صنعتی و نقش آن در حل مشکل کمود انرژی در جهان، شایان اهمیت است. روش‌هایی که برای تعیین پارامترهای پلاسما به کار می‌روند به دو گروه اندازه‌گیری به روش مستقیم و اندازه‌گیری به روش غیرمستقیم تقسیم می‌شوند. در روش اول وسیله اندازه‌گیری مستقیماً "به داخل پلاسما رانده می‌شود و در نتیجه امکان اندازه‌گیری در هر ناحیه از پلاسما وجود دارد و اصطلاحاً به آن اندازه‌گیری " محلی " گویند. در روش دوم وسایل اندازه‌گیری درخارج از پلاسما قرار می‌گیرند. روش‌هایی که برای اندازه‌گیری پارامترهای پلاسما نظری دمای الکترون و چگالی الکترون به کار برده شده‌اند، عبارتند از، الف- لانگمور پروپ زوج

استفاده از تابع حاصل قابلیت هدایت الکترونی  
پلاسما را تعیین نمود .

با قراردادن یک پروب فرکانس رادیوئی در داخل  
پلاسما ، می‌توان پارامترهای پلاسما و از آن جمله  
دما و دانسیته الکترون را در شرایط مختلف اندازه  
گرفت .

ج - روش امواج در پلاسما  
به علت فاصله زیاد ذرات در پلاسما ، بررسی  
انتشار امواج در پلاسما بسیار مشکل است . امواجی  
که در پلاسما انتشار می‌یابند به دو گروه خطی و غیر  
خطی تقسیم می‌شوند . در امواج خطی تغییرات  
دامنه موج زیاد نیست و فرکانس موج مستقل از دامنه  
موج است . در صورتیکه برای امواج غیرخطی  
تغییرات دامنه بسیار زیاد است و برای آنها  
تغییرات فرکانس به تغییرات دامنه بستگی دارد . در  
این مقاله فقط امواج خطی خودبرانگیخته مورد  
بررسی قرار گرفته است . انتشار یک چنین موجی در  
پلاسما ، شبیه به انتشار موج صوتی در گازهاست .

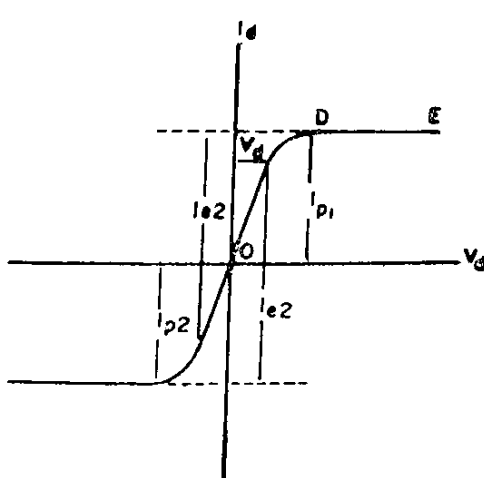


شکل ۱- مدار پروب استوانه‌ای زوج .

پروب ۲ نسبت به پروب ۱ بسیار منفی باشد .  
پروب ۲ یونهای مثبت و پروب ۱ مقداری از  
الکترونها را جمع‌آوری می‌کند . با کاهش پتانسیل  
پروب ۲ ، به تدریج پروب شماره ۲ علاوه بر یون  
مثبت شروع به جذب الکترون نموده و بنابراین  
اندازه مطلق جریان خالص پلاسما ( $I_0$ ) کاهش  
می‌یابد . برای  $0 = V_d$  مجموع جریانهایی که از هر  
پروب عبور می‌کند صفر است و نقطه ۰ را در روی  
نمودار شکل ۱ مشخص می‌سازد . با اعمال ولتاژ  
معکوس ، پروب ۲ نسبت به پروب شماره ۱ مثبت  
شده و شاخه سمت راست نمودار شکل ۱ حاصل  
می‌شود (قسمت ODE) .

#### ب - روش فرکانس رادیوئی

فرض کنیم که توزیع ذرات در پلاسما در غیاب  
میدان خارجی از توزیع ماکسوئل - بولتزمن پیروی  
کند ، در این صورت اثر میدان خارجی ضعیف را  
می‌توان به صورت یک آشفتگی ناهمگن که در محیط  
بدوگرد می‌آید در تابع مذکور اعمال کرده با



شکل ۲- نمودار تغییرات ولتاژ با  
جریان در پروب دوتائی .

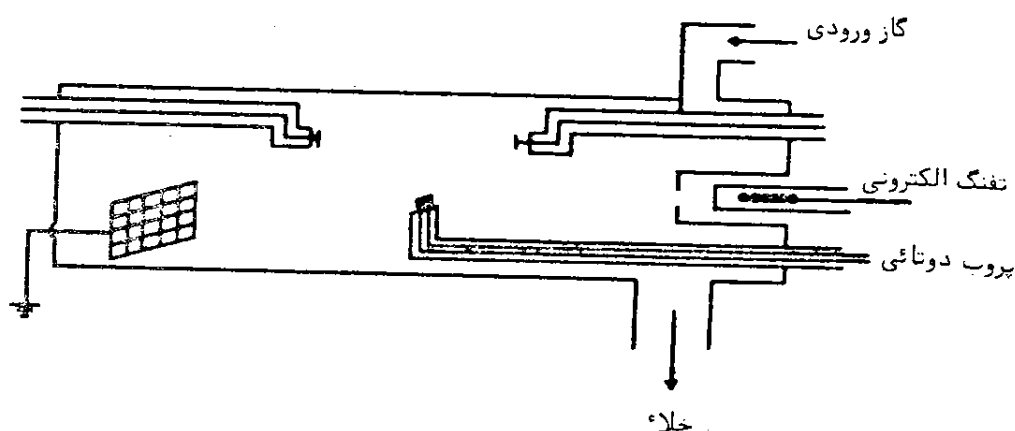
به  $10^{-6}$  torr کاهش داده با داخل کردن گاز آرگون فشار را به  $3 \times 10^{-6}$  torr افزایش می‌دهیم. با ایجاد میدان قوی بین آندوکاتور تفنگ الکترونی، ذرات گاز در اطراف تفنگ یوتیزه شده و با اتصال طرف دیگر محفظه به زمین (شکل ۳) تعامی یونهای موجود در محفظه به انتهای دیگر کشیده می‌شود. با افزایش میدان اعمال شده، پلاسمای یکنواختی در داخل محفظه به وجود می‌آید (دیواره محفظه پوشیده از یون مثبت است). در آزمایش می‌باید دقیق کرد که هیچگونه ناپایداری در پلاسما به وجود نماید. چه در ولتاژ و فشارهای بالا ناپایدارهای در پلاسما حاصل می‌شود که باعث تغییر فشار در داخل محفظه می‌گردد. در نتیجه نمی‌توان پارامترهای پلاسما را بطور دقیق اندازه گرفت. در ساخت تفنگ الکترونی نیز باید دقیق کافی نمود زیرا به علت جریان زیاد تفنگ الکترونی نمی‌تواند به صورت پیوسته عمل کند و این خود باعث ایجاد ناپایداری و از بین رفتن تفنگ الکترونی خواهد شد.

### شرح دستگاه

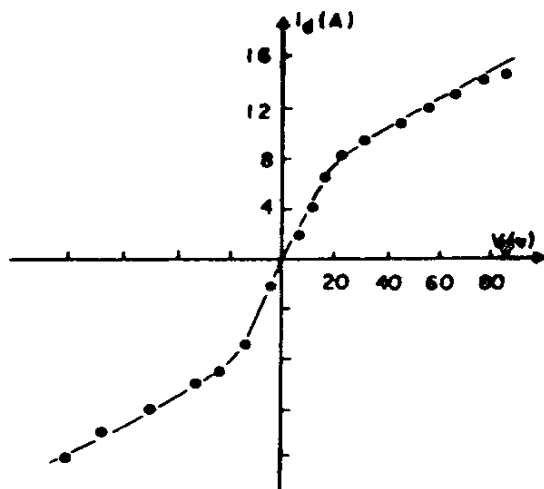
دستگاه مورد استفاده از یک استوانه آلومینیومی به قطر ۲۵ سانتیمتر و طول ۶ سانتی‌متر تشکیل شده است. دو طرف استوانه به وسیله دو دیسک فلزی مسدود گردیده است. با ایجاد روزنه‌های در دیسکهای مذکور، محلهایی برای تعییه پروفهها، تفنگ الکترونی و الکترودهای مورد نیاز بوجود آمده است. برای ایجاد پلاسما از تفنگ الکترونی استفاده می‌شود. برای ایجاد خلاء از دو پمپ یکی روتوری  $10^{-3}$  torr و دیگری دیفیوژن تا فشار  $10^{-6}$  torr استفاده شده است.

### روش کار

الف - لانگور پروب زوج  
نخست داخل محفظه، تفنگ الکترونی و پروب‌ها را به دقیقیت با محلول شیمیائی تمیزکننده شستشو داده و سپس دستگاه را سوار کرده و آن را به قسمت تولید خلاء مرتبط می‌سازیم. فشار داخل محفظه را



شکل ۳- محفظه آلومینیومی، شامل تفنگ الکترونی و پروبها.



شکل ۴- نمودار جریان ولتاژ  
اندازه‌گیری شده برای پروب زوج .

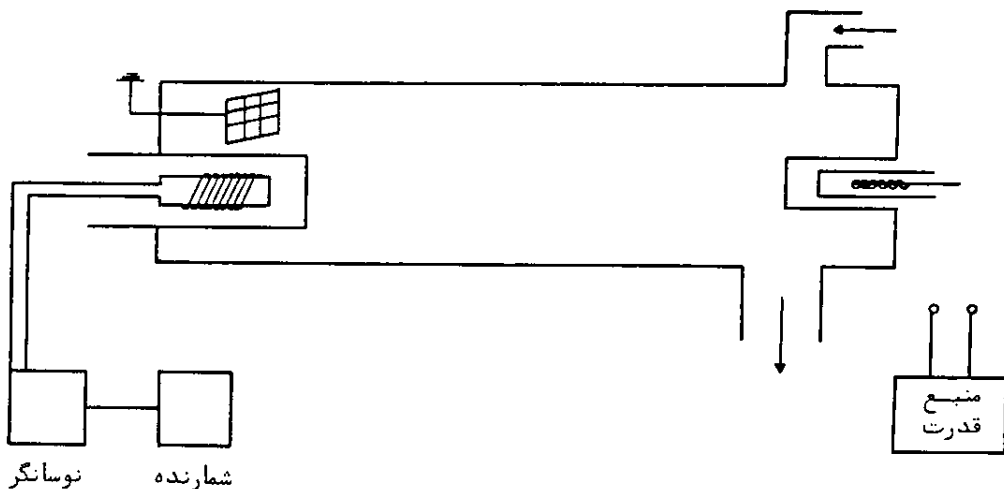
نایپیداری در شمارش فرکانس، نمی‌توان پروب را مستقیماً در داخل پلاسما قرار داد. مطابق شکل ۵، ابتدا در یک انتهای محفظه اصلی دستگاه، لولهای شیشه‌ای که یک طرف آن بسته است قرار داده می‌شود و سپس پروب فرکانس رادیوئی در داخل آن قرار می‌گیرد.

۲- مدرج کردن پروب فرکانس رادیوئی : برای مدرج کردن پروب از مدار شکل ۶ استفاده شده است (این مدار برای فرکانس  $20 \text{ MHz}$  -  $10 \text{ MHz}$  تنظیم شده است) . پروب را در مدار قرار داده و فرکانس آن به وسیله یک شمارنده تعیین می‌شود. سپس پروب را در داخل محلول کلورورسدیم  $\text{NaCl}$  یا کلرور- پتاسیم  $\text{KCl}$  که هدایت الکتریکی آنها برای غلظتها مختلف معلوم است، قرار داده می‌شود. فرکانس پروب، به علت تغییر میدان الکتریکی تغییر یافته و اختلاف آن با حالت قبل تعیین می‌شود. با استفاده از مقادیر حاصل نموداری ترسیم می‌شود که مشخصه تغییرات اختلاف بسامد بر حسب هدایت

برای اندازه‌گیری ۷ و ۸ از مدار شکل ۱ استفاده می‌شود و با تغییر ولتاژ، جریان بین پروبها اندازه- گیری می‌شود. با ترسیم نمودار ۷-۸ و استفاده از شبیب آن می‌توان دما و چگالی الکترون را تعیین کرد ( $5, 12, 13$  و  $14$ ). نمونه نمودار ۷-۸ به دست آمده در این آزمایش در شکل ۴ نشان داده شده است. مقادیر حاصل در این آزمایش برای دمای الکترون و چگالی الکترون بترتیب  $n_e = 6.0 \times 10^{19} \text{ electron/cm}^3$  و  $T_e = 2.95 \times 10^4 \text{ K}$  است.

ب- روش فرکانس رادیوئی در این روش از پروب فرکانس رادیوئی استفاده می‌شود. نحوه ساخت و مدرج کردن این پروب در زیر شرح داده شده است :

۱- ساخت پروب فرکانس رادیوئی : انتهای یک لوله شیشه‌ای به قطر  $6 \text{ میلیمتر}$  و به طول  $50 \text{ سانتی‌متر}$  را مسدود ساخته و سپس بر روی آن  $26$  دور از یک سیم مسی به قطر  $0.23 \text{ میلیمتر}$  پیچیده می‌شود. به علت برخورد ذرات پلاسما با پروب و ایجاد



شکل ۵- طرز قرارگیری پروب رادیوئی در محفظه.

جدول ۱- تغییرات فرکانس با تغییر ولتاژ اعمال شده

فرکانس	ولتاژ (ولت)
۱۸/۹۵۲	۵
۱۸/۹۳۴	۰/۵
۱۸/۹۱۷	۱
۱۸/۹۰۷	۱/۵

$$\Delta F = 18/952 - 18/907$$

$$45 \text{ MHz} = 45 \text{ KHz}$$

روش لانگمور پروب زوج شده استفاده شده است که مقدار آن در این آزمایش  $T_e = 2/95 \times 10^4 \text{ K}$  است. هدایت الکتریکی در همان نقطه و در همان فشار با استفاده از نمودار شکل ۷ برابر  $\frac{mho}{cm^2} = 2/2$  است محاسبه شده و  $\frac{cm^{-2}}{S} = 2/5 \times 10^{-10}$  است (۱۴ و ۱۵). در این آزمایش چگالی الکترون

الکتریکی محلول است. نمودار به دست آمده در این آزمایش در شکل ۷ نشان داده شده است.

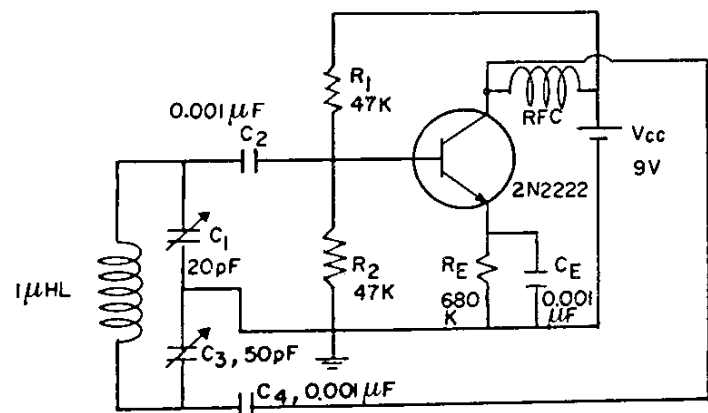
با قراردادن پروب فرکانس رادیوئی در پلاسمای استفاده از نمودار به دست آمده در (شکل ۷)، هدایت الکتریکی پلاسمای تعیین می شود. در این آزمایش پروب مذکور در مرکز محفظه استوانهای قرار داده شده و در فشار  $30 \text{ torr}$ ، با تغییر ولتاژ، مقادیر فرکانس متناظر در جدول ۱ ثبت گردیده است.

با استفاده از رابطه زیر می توان چگالی الکترون را محاسبه کرد (۶ و ۷) :

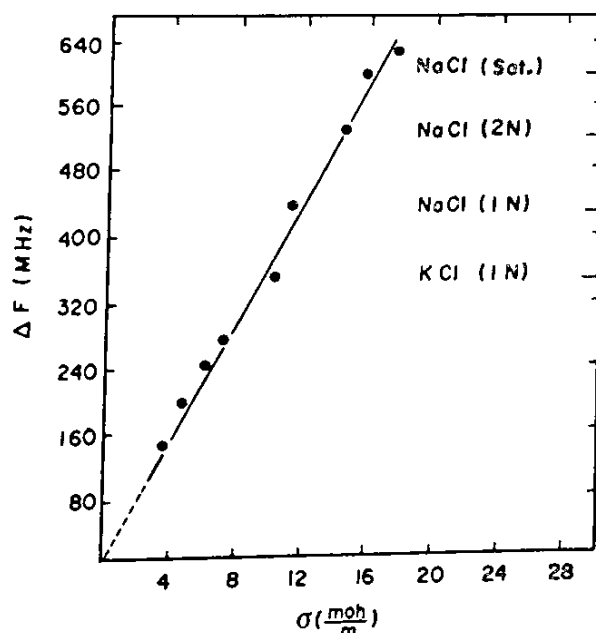
$$n_e = \frac{(m_e K T_e)^{\frac{1}{2}} N \delta_s}{e^2} \quad (1)$$

که در آن  $m_e$  جرم الکترون،  $K$  ثابت بولتزمن،  $T_e$  دمای الکترون،  $N$  تعداد اتمهای خنثی،  $\delta_s$  سطح مقطع پراکندگی،  $e$  قابلیت هدایت الکتریکی و بار الکترون است.

برای تعیین دمای الکترون در فشار  $30 \text{ torr}$  از



شکل ۶- مدار نوسانات.



شکل ۷- نمودار اختلاف فرکانس بر حسب قابلیت هدایت الکتریکی.

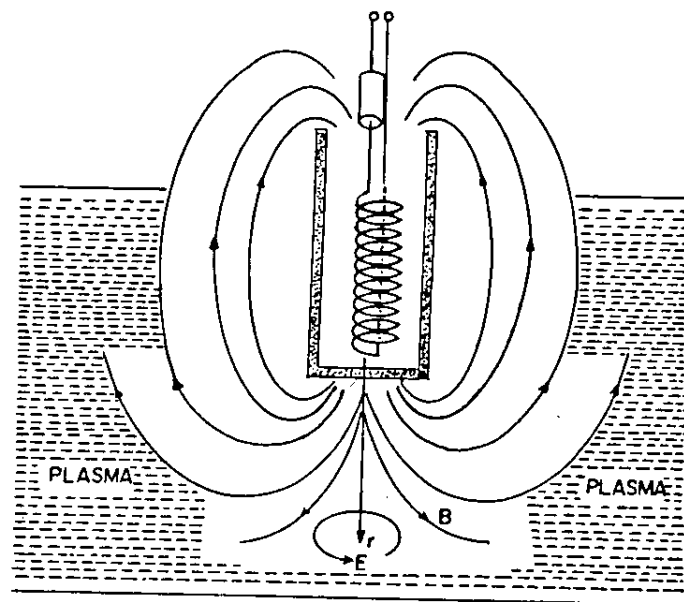
خود برانگیخته است (به این معنی که هیچ موجی از خارج وارد پلاسما نمی‌شود). از بررسی این نوع امواج می‌توان بعضی از پارامترهای پلاسما نظیر دمای الکترون را محاسبه کرد. دو نمونه از امواج یونی مشاهده شده در شکل ۹-الف و ۹-ب نشان داده شده است. با توجه به آنکه معادله نوسانات یونها در پلاسما طبق رابطه زیر است (۸).

$$\nu = \frac{\gamma_e K T_e}{m_i^{1/2}} \quad (2)$$

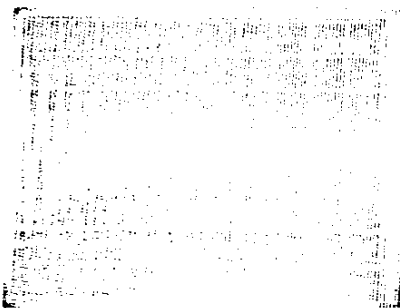
در این رابطه  $\nu$  سرعت یون،  $\nu$  فرکانس امواج،  $\lambda$  طول موج،  $K$  ثابت بولتزمن،  $m_i$  جرم آرگون و  $T_e$  دمای الکترون و  $\gamma_e = 5/3$  است. با استفاده از شکل ۹ و رابطه (۲) دمای الکترون برابر  $K = 2/88 \times 10^{-4} \text{ eV}$  تعیین گردیده است.

$n_e = 10^9 / \lambda^2 \text{ cm}^{-3}$  تعیین گردیده است. ضمناً "نحوه عمل پرورب فرکانس رادیوئی در داخل پلاسما در شکل ۸ مشخص شده است.

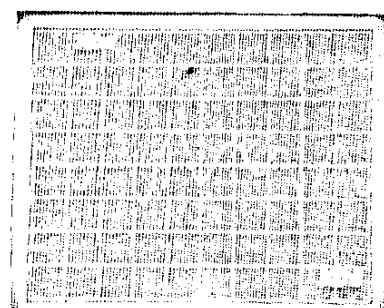
ج-روش امواج در پلاسما  
برای دریافت موج در پلاسما از پرورب‌های مخصوصی استفاده می‌شود. در این آزمایش از یک پرورب به شکل دیسک و از جنس تنگستن و به قطر  $4/5$  میلیمتر و ضخامت  $5$  میلیمتر استفاده شده است. پرورب را در داخل پلاسما حرکت داده و آنرا در نقاط مختلف قرار می‌دهیم تا بتوان انرژی نوسانات را اندازه گرفت. قبل از قرار دادن پرورب در داخل پلاسما، از محلول هیدروکسید پتاسیم (KOH) برای اکسیدزدایی سطح پرورب استفاده می‌شود. امواجی که در اینجا مورد مطالعه قرار گرفته‌اند از نوع امواج



شکل ۸- طرز کار پرورب فرکانس رادیوئی در داخل پلاسما.



شکل ۹ (ب) - امواج یونی  
با فرکانس  $f = 66 \text{ MHz}$ .



شکل ۹ (الف) - امواج یونی  
با فرکانس  $f = 5 \text{ MHz}$ .

ناتایج حاصل از سه روش فوق الذکر در جدول ۲ ذکر گردیده است . با در نظر گرفتن این جدول ، بدینهی است که اختلاف نتایج حاصل از روش‌های مختلف

نتایج حاصل از سه روش فوق الذکر در جدول ۲ ذکر گردیده است . با در نظر گرفتن این جدول ، بدینهی است که اختلاف نتایج حاصل از روش‌های مختلف

جدول شماره ۲ - مقایسه نتایج حاصل از روش‌های مختلف

$n_e$ electron/cm <sup>3</sup>	$T_e$ (°K)	نوع روش
$6.02 \times 10^9$	$2.95 \times 10^4$	پروپ زوج
$10.8 \times 10^9$	—	فرکانس رادیوئی
	$2.88 \times 10^4$	امواج

#### References

- Y. Hatta and N. Sato, Proceedings of the Fifth Inter. Conf. on Ionization Phenomena in Gases, H. Macker, Ed., North Holland Publishing Company, Amsterdam, Vol.1, 978 (1962).
- L. Tonks and I. Langmuir, Phys.33, 195 (1929).
- M. Ghoranneviss, Proc. Int. Conf. on Phenomena in Ionized Cases, Swansea, England (1987).
- K. Yamaoto, J. Phys. Soc. Japan, 11.57 (1966).
- I. Dote. Rep; I.P.C.R: I,44 (1977).

6. Smirnov Introduction to Plasma Physics, Mir Publishers., Moscow.101 (1977).
7. R.A. Olson and E.C. Lary, Measurement of Plasma Conductivity Employing Less Technique, UAC Research Laboratories, Report. M. 1282-1 (1961).
8. I. Alexeff and W.D. Jones, The Physics of Fluids vol.11. No.1 167 (1968).
9. I. Alexeff and W.D. Jones, Bull. Am. Phys. Soc.12, 516 (1963).
10. W.D. Jones and I. Alexeff, Bull. Am. Phys. Soc.12, 770 (1967).
11. M. Ghoranneviss. Proc. Second. Int. Conf. on Relation Bet. Laboratory and Space Plasma. Tokyo, Japan. (1986).
12. G. Ghoranneviss, Bull. American Physical Society, U.S.A (1986).
13. B.D. Fried and R.W. Gould, Phys. Fluids 4, 139 (1961).
14. A.Y. Wong and R.W. Motley, Phys. Rev. 133, 4436 (1969).
15. H. Fujita, Japaness Journal of Appl. Phys, Vol.15, No.1 (1976)

## THE MEASURMENT OF PLASMA PARAMETERS USING PROBE TECHNIQUES

M. Ghorannevis and M. Elahi<sup>\*</sup>  
Plasma Group, Nuclear Research Center  
Atomic Energy Organization of Iran  
Department of Physics, Razi University

### Abstract

The possibility of finding the plasma parameters, like electron temperature and density, by direct measurement is shown in this article. Plasma is produced in a cylindrical chamber with 25 cm diameter and 60 cm length, by electronic gun in Argon gas. The plasma produced is very stable. Three processes, namely, Langmuir double probe, radio frequency and plasma wave, can be used to find the plasma parameters. It is shown that the results obtained are in a good agreement with each other.